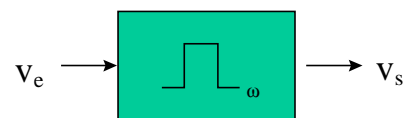


Amplificadores de Banda Angosta (Sintonizados)



$$v_e = V_{e1} \sin(w_1 t) + V_{e2} \sin(w_2 t) + \dots$$

$$v_s = V_{s1} \sin(w_1 t + f_1) + V_{s2} \sin(w_2 t + f_2) + \dots$$

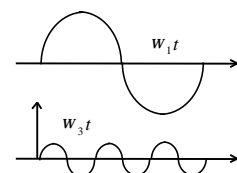
El retardo es:

$$t_1 = \frac{f_1}{w_1} \quad t_2 = \frac{f_2}{w_2} \quad t_3 = \frac{f_3}{w_3} \quad \text{etc.}$$

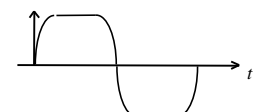
Amplificadores de Banda Angosta (Sintonizados)

Para mantener la forma de la onda original se debe cumplir que :

$$\frac{V_{s1}}{V_{e1}} = \frac{V_{s2}}{V_{e2}} = \frac{V_{s3}}{V_{e3}} = \dots = A$$



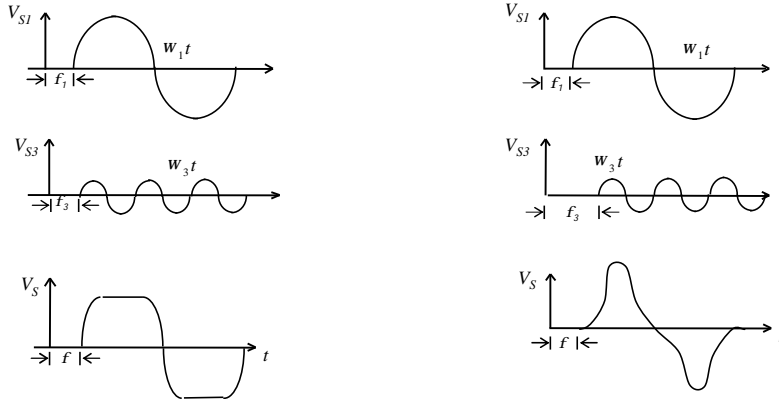
$$\frac{f_1}{w_1} = \frac{f_2}{w_2} = \frac{f_3}{w_3} = \dots = k$$



Desfase y Distorsión

$$f_1 = f_3$$

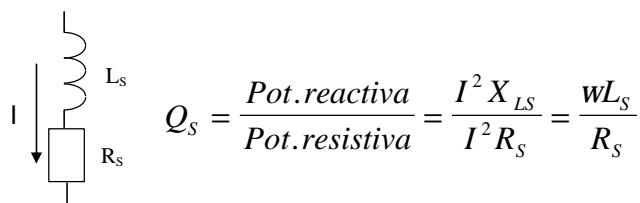
$$f_1 < f_3$$



Factor de Calidad de una Bobina

Pérdidas de la bobina:

- Pérdidas resistivas en el alambre de la bobina
- Pérdidas en el núcleo (ferrita)
- Pérdidas en el blindaje



$$Q_S = \frac{\text{Pot. reactiva}}{\text{Pot. resistiva}} = \frac{I^2 X_{LS}}{I^2 R_S} = \frac{wL_S}{R_S}$$

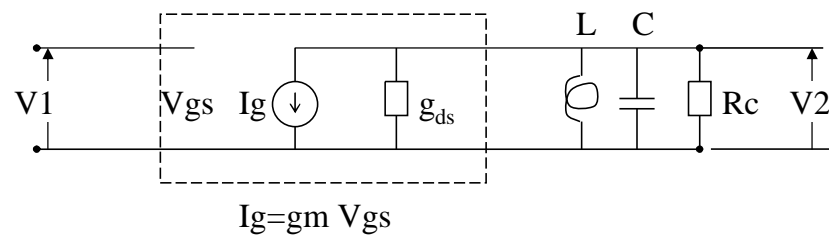
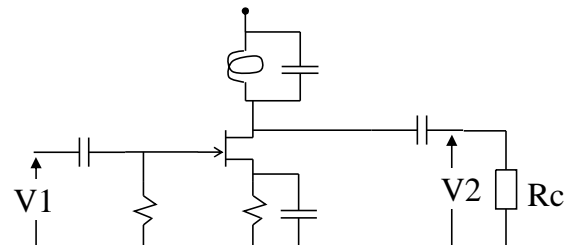
Circuit diagram of a parallel R-L circuit. A voltage E is applied across an inductor L_P and a resistor R_P in parallel. The total current through the parallel combination is zero.

$$R_P = R_S \left[1 + Q_S^2 \right]$$

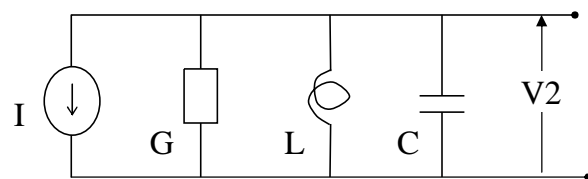
$$Q_P = \frac{E^2 / X_{LP}}{E^2 / R_P} = \frac{R_P}{wL_P} = \frac{1}{G_P w L_P} \quad X_P = X_S \left[1 + \frac{1}{Q_S^2} \right]$$

Amplificador Sintonizado: modelo

Sea el elemento activo un Transistor JFET:



Función de transferencia



I y G representan el circuito equivalente Norton del elemento activo, cualquiera que este sea.

$$Az = \frac{V2}{I} = -\frac{1}{sC + 1/sL + G}$$

$$Az = -\frac{s/C}{s^2 + s G/C + 1/LC}$$

Polos

$$A_z = - \frac{s/C}{s^2 + s G/C + 1/LC}$$

$$S_{12} = -1/2 G/C \pm \sqrt{1/4 (G/C)^2 - 1/LC}$$

Frecuencia natural: $\omega_0 = 1/\sqrt{LC}$

Factor de mérito: $Q = R / \omega_0 L$

$$(\omega_0^2 = 1/LC \quad \omega_0 L = 1/\omega_0 C)$$

$$(Q = \omega_0 C/G \quad \text{y} \quad G/C = \omega_0 / Q)$$

$$S_{12} = -\omega_0 / 2Q \pm \sqrt{1/4 (\omega_0/Q)^2 - \omega_0^2}$$

$$S_{12} = -\omega_0 / 2Q \pm j \omega_0 \sqrt{1 - 1/4Q^2}$$

Función de transferencia: plano s

$$A_z = - \frac{s/C}{(s - s_1)(s - s_2)}$$

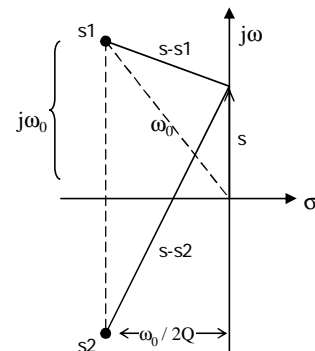
Aproximaciones:

$$\text{Si } Q \gg 1 \quad \omega_0 / 2Q \ll \omega_0$$

En torno a s_1 :

$$s \sim j(\omega_0)$$

$$s - s_2 \sim 2j(\omega_0)$$



$$s_1 = -\omega_0 / 2Q \pm j \omega_0 \sqrt{1 - 1/4Q^2} \quad \sim \quad -\omega_0 / 2Q + j \omega_0$$

$$s - s_1 = +j(\omega - \omega_0) + \omega_0 / 2Q$$

Función de transferencia aproximada

$$A_Z = - \frac{j\omega_0/C}{\{j(\omega - \omega_0) + \omega_0/2Q\} \{2j\omega_0\}}$$

$$A_Z = - \frac{1/C}{\{j(\omega - \omega_0) + \omega_0/2Q\} \{2\}} \quad \begin{matrix} 1/[\omega_0/2Q] \\ 1/[\omega_0/2Q] \end{matrix}$$

$$A_Z = - \frac{1/G}{1 + j \{(\omega - \omega_0) / (\omega_0/2Q)\}}$$

Función de transferencia: frecuencia de corte

$$|A_Z| = - \frac{1/G}{\sqrt{1 + \{(\omega - \omega_0) / (\omega_0/2Q)\}^2}}$$

$$\phi = \pi - \text{arc tg} \{ (\omega - \omega_0) / (\omega_0/2Q) \}$$

Frecuencias de corte: ω tal que $|A_Z| = |A_Z|_{\max} / \sqrt{2}$

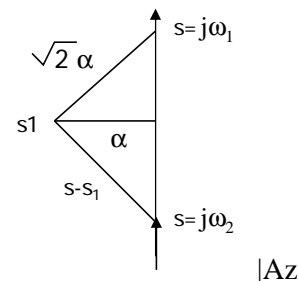
$$\{(\omega - \omega_0) / (\omega_0/2Q)\}^2 = 1 \quad \Rightarrow \quad \{(\omega - \omega_0) / (\omega_0/2Q)\} = \pm 1$$

Frecuencia de corte, Ancho de Banda

Frecuencias de corte:

$$\omega_1 = \omega_0 + (\omega_0 / 2Q)$$

$$\omega_2 = \omega_0 - (\omega_0 / 2Q)$$

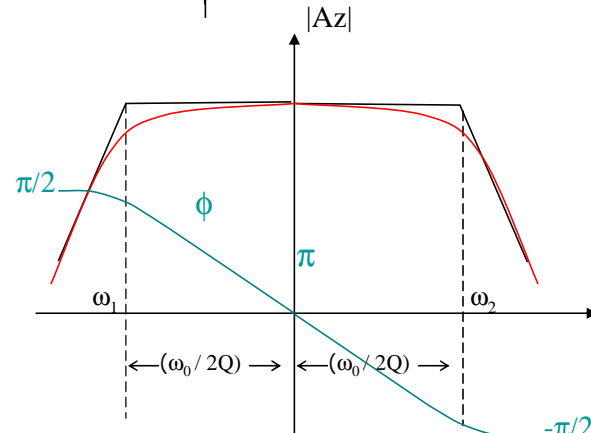


Ancho de Banda:

$$BW = \omega_2 - \omega_1$$

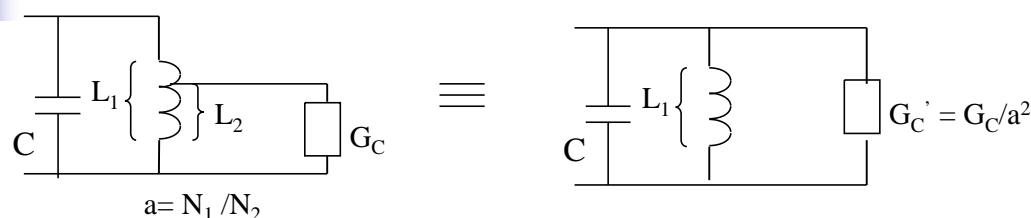
$$BW = \omega_0 / Q$$

En que
 $Q = R / \omega_0 L$

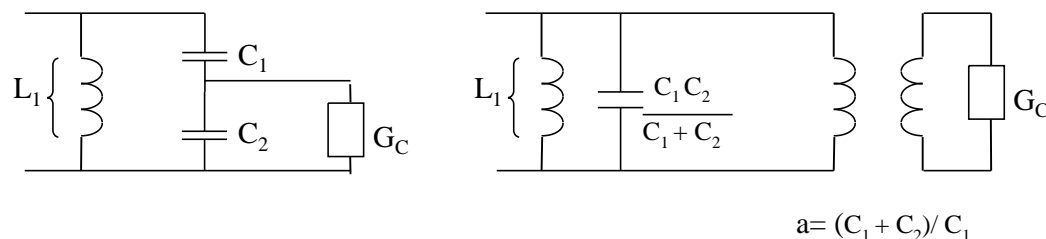


Acoplamientos

Inductivo:



Capacitivo:

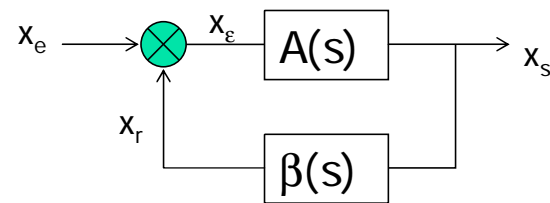


Osciladores: Modelo realimentado

$$X_s = A(s) x_e$$

$$X_r = \beta(s) X_s$$

$$x_e = x_e - x_r$$



$$\frac{X_s}{X_e} = \frac{A(s)}{1 + \beta(s) A(s)}$$

Oscilación: $X_s \neq 0$ si $x_e = 0$ & $1 + \beta(s) A(s) = 0$

Luego:

$$\beta(j\omega) A(j\omega) = -1 + j0 \begin{cases} \text{Condición Oscilación: } \operatorname{Re}\{\beta(j\omega) A(j\omega)\} = -1 \\ \text{Condición de partida: } \operatorname{Im}\{\beta(j\omega) A(j\omega)\} = 0 \end{cases}$$

Osciladores: Modelo matricial

Análisis en base a ecuaciones de bucle:

$$\begin{bmatrix} z \\ I_1 \\ I_2 \\ \vdots \\ I_n \end{bmatrix} \quad \begin{bmatrix} V_f \\ 0 \\ 0 \end{bmatrix} \quad I_1 = V_f * \Delta_{11} / \Delta_z$$

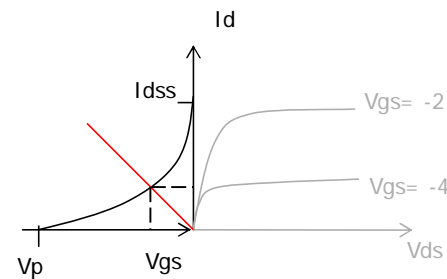
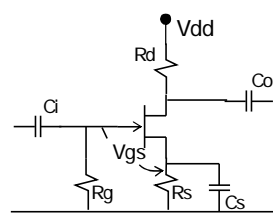
Condición de oscilación: $I_1 \neq 0$ si $V_f = 0$ & $D_z = 0$

Análisis en base a ecuaciones de nodo:

$$\begin{bmatrix} Y \\ V_1 \\ V_2 \\ \vdots \\ V_n \end{bmatrix} \quad \begin{bmatrix} I_f \\ 0 \\ 0 \end{bmatrix} \quad V_1 = I_f * \Delta_{11} / \Delta_y$$

Condición de oscilación: $V_1 \neq 0$ si $I_f = 0$ & $D_y = 0$

Polarización JFET



Recta de Carga de Compuerta:

$$V_g = V_{gs} + R_s * I_d \quad \rightarrow \quad I_d \approx -V_{gs}/R_s$$

La intersección de esta recta de carga con la curva estática de compuerta determina el punto de polarización

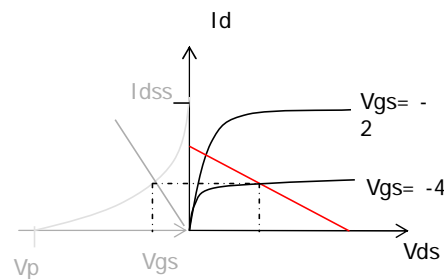
La curva estática de compuerta también se puede modelar mediante la ecuación:
 $I_d = I_{dss}(1 - V_{gs}/V_p)^2$
 con lo que se dispone de dos ecuaciones para resolver las variables I_d y V_{gs}

Polarización JFET

Recta de Carga de Drenaje:

$$V_{dd} = R_d * I_d + V_{ds} + R_s * I_d$$

$$I_d = -V_{ds}/(R_s + R_d) + V_{dd}/(R_s + R_d)$$



La intersección de esta recta de carga con la curva estática de drenaje determina el punto de polarización

JFET: Modelo incremental

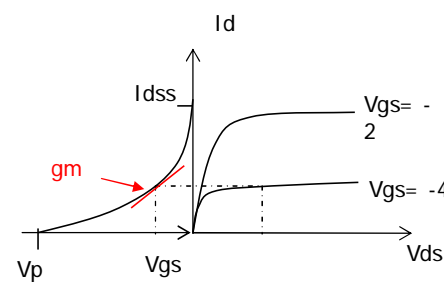
Transconductancia incremental

$$gm = d(Id) / d(Vgs)$$

$$gm = 2 Idss/Vp (1 - Vgs/Vp)$$

$$gm = gmo (1 - Vgs/Vp)$$

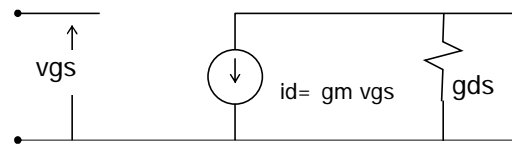
En que $gmo = gm$ para $Vgs = 0$



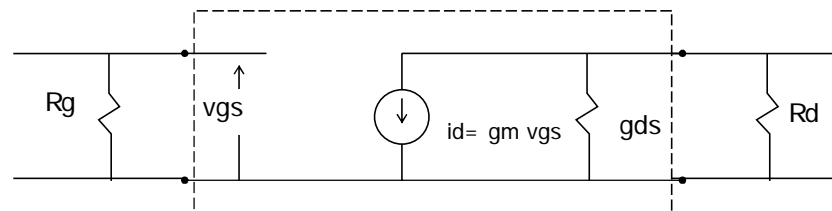
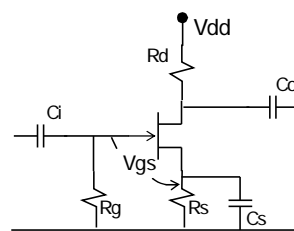
Conductancia incremental de salida

$$gds = d(Id)/d(Vds)$$

Modelo incremental del JFET:



Modelo incremental de Amplificador



$$Av = Vds/Vgs = - gm * (rds//Rd)$$